

LANCÉ

Servicio Clima Espacial

Reporte Semanal

<http://www.sciesmex.unam.mx>



AEM
AGENCIA ESPACIAL MEXICANA



CENAPRED
CENTRO NACIONAL DE
PREVENCIÓN DE DESASTRES

Reporte semanal: del 5 al 11 de agosto 2022

CONDICIONES DEL SOL

Regiones Activas (RA): 7 (3070, 3071, 3074, 3075, 3076, 3077 y 3078).

Hoyos coronales: 3, de los cuales 1 se observó en latitud baja.

Fulguraciones solares: Se registraron fulguraciones clase C.

Eyecciones de masa coronal: Se registraron 24, ninguna tipo halo.

Estallidos de radio solares: 11 estallidos Tipo III, 2 Tipo IV.

CONDICIONES DEL MEDIO INTERPLANETARIO

Se registró una región de interacción entre el 7 y 8 de agosto.

CONDICIONES DE MAGNETÓSFERA

Índice K local y global: Tormenta geomagnética de menor a moderada ($K_p = 5$ y 6).

Índice Dst y DH: Con perturbaciones moderadas los mismos días, entre el 7 y 8 de agosto.

CONDICIONES DE LA IONOSFERA

Perturbación ionosférica ligera durante el 7 y 8 de agosto.

CONDICIONES DE RAYOS CÓSMICOS SOBRE MÉXICO

Caída en el flujo de rayos cósmicos (evento Forbush) desde el 7 de agosto.

PRONÓSTICOS

Viento solar:

- Arribo de corrientes de viento solar con velocidades cercanas a 350 km/s. No se pronostica el arribo de alguna EMC, al menos hasta el 16 de agosto.

Fulguraciones solares:

- Se esperan fulguraciones C.

Tormentas ionosféricas:

- No se esperan perturbaciones ionosféricas significativas en los próximos días.

Tormentas geomagnéticas:

- No se esperan perturbaciones geomagnéticas intensas en los próximos días.

Tormentas de radiación solar:

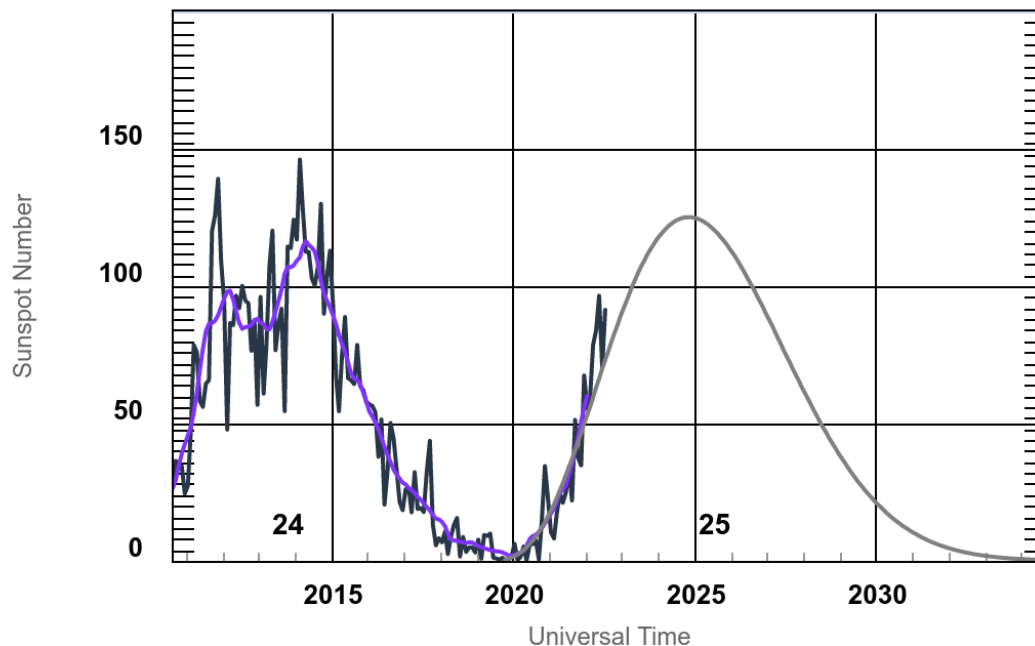
- No se esperan tormentas significativas en la próxima semana.

Eventos de partículas energéticas:

- No se pronostican variaciones significativas en la próxima semana.

Ciclo de manchas solares y la actividad solar

ISES Solar Cycle Sunspot Number Progression



◆ Monthly Values — Smoothed Monthly Values — Predicted Values +10 -6 Mos
Space Weather Prediction Center

La figura muestra el conteo del número de manchas solares desde 2010, cubriendo la mayor parte del ciclo solar 24 y la predicción de cómo se espera el ciclo 25.

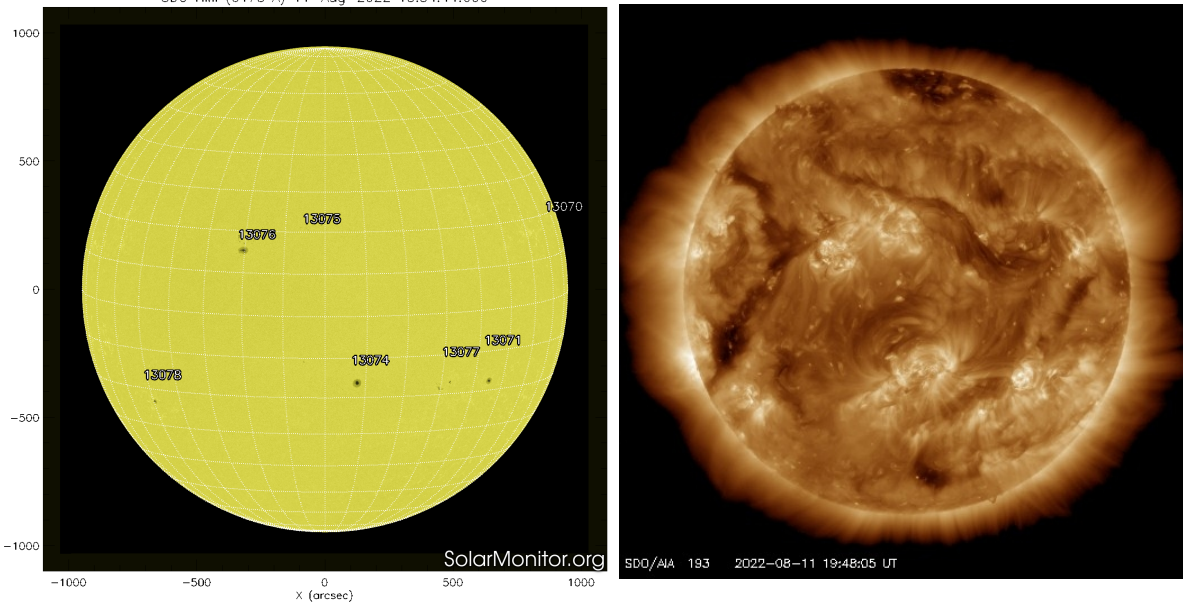
Entre más manchas solares presente el Sol, es mayor la posibilidad de que ocurra una tormenta solar.

Estamos en la fase ascendente del nuevo ciclo solar 25.

<https://www.swpc.noaa.gov/products/solar-cycle-progression>

Atmósfera solar y las capas solares

SDO HMI (6173 Å) 11-Aug-2022 18:34:44.600



Las imágenes del satélite SDO muestran 7 regiones de manchas solares (13068, 13070, 13071, ... ,13076). En la imagen que muestra la corona, se observan regiones brillantes asociadas a las regiones activas de las manchas solares.

<https://solarmonitor.org/index.php>
<https://sdo.gsfc.nasa.gov/>

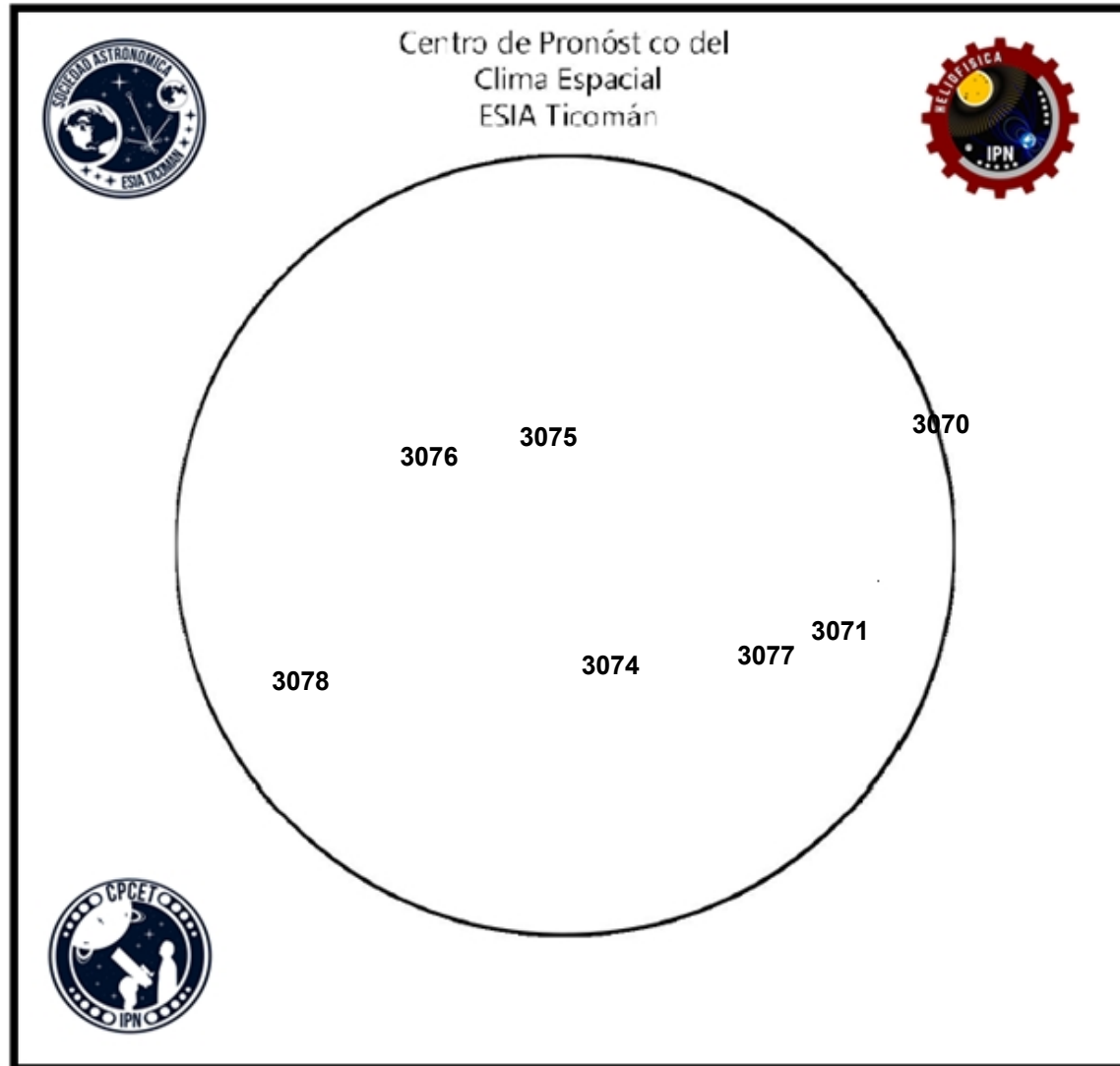
El Sol al 11 de agosto visto en dos longitudes de onda, muestran la fotosfera y la corona.

A la izquierda: La fotosfera es la zona “superficial” del Sol, donde aparecen las manchas solares. Son regiones oscuras formadas por material mas frío que sus alrededores y que contienen intensos campos magnéticos. Las manchas solares están relacionadas con la actividad solar. A la derecha: La corona solar en rayos X (193 Å). La emisión de Fe XII es la corona a 10^6 grados y también hay emisión Fe XXIV (regiones brillantes) de 2×10^7 grados. Los hoyos coronales (regiones oscuras) son regiones de campo magnético abierto. Éstas son fuente de las corrientes de viento solar rápido.

Número de Wolf

LANCÉ

Laboratorio Nacional
de Clima Espacial



El número de Wolf es un valor que permite evaluar numéricamente la actividad solar mediante el conteo de manchas solares ubicadas sobre la superficie del Sol. Este se calcula a partir de la fórmula desarrollada por Rudolf Wolf en 1849:

$$W=k(10*G+F)$$

Donde:

K= Es un factor de corrección que depende de cada observatorio.

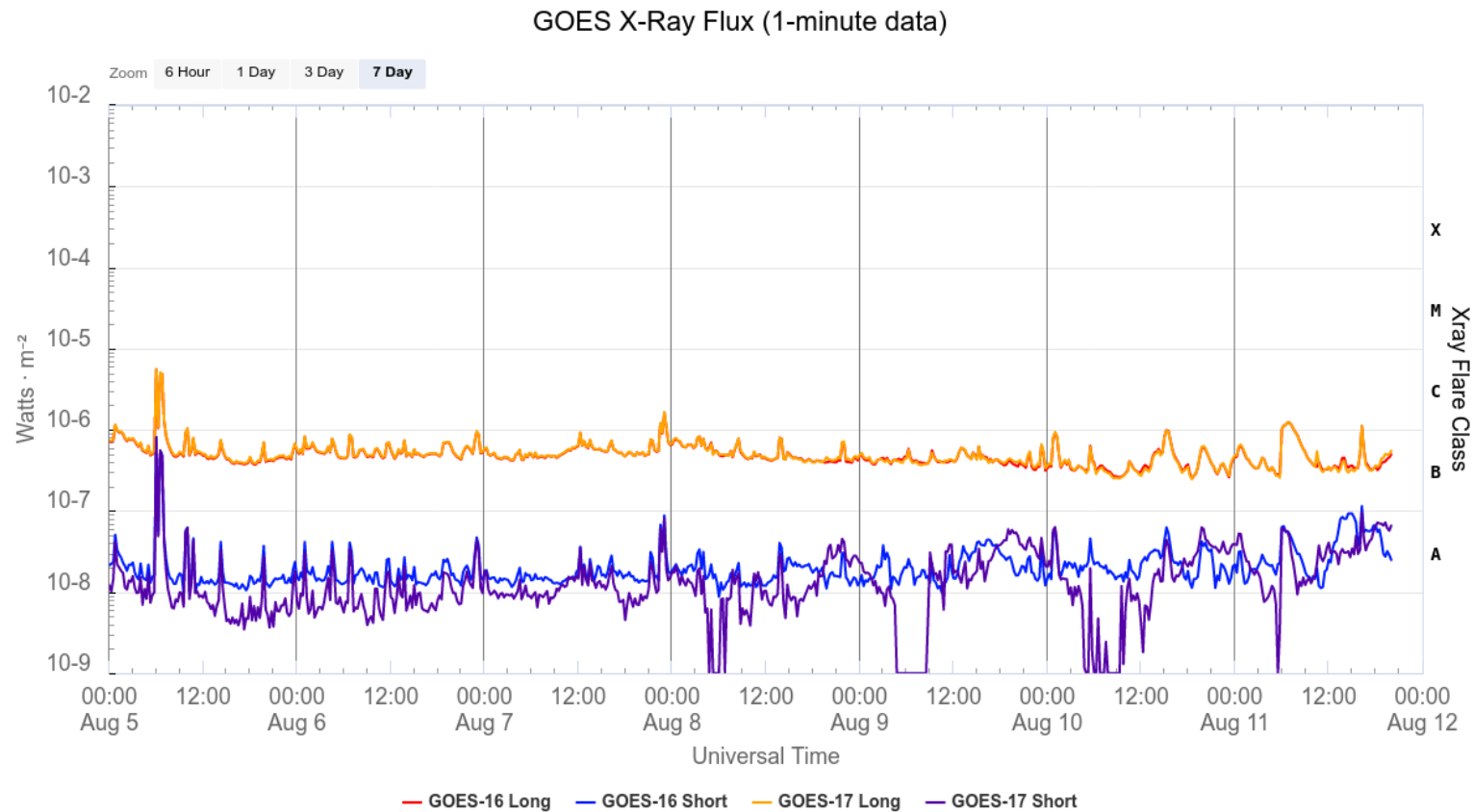
F= Cantidad total de manchas solares visibles sobre el disco solar.

G= Cantidad de grupos manchas solares visibles sobre el disco solar.

Número de Wolf máximo esta semana: **106**

Durante esta semana se pudieron observar siete regiones activas en la superficie del Sol. Estas fueron la 3070, 3071, 3074, 3075, 3076, 3077 y 3078. Con coordenadas N15W85, S13W45, S16W08, N18E03, N14E20, S15W32 y S22E49 respectivamente.

Actividad solar: Fulguraciones solares



Flujo de rayos X solares detectado por los satélites GOES de la NOAA. Durante la semana se registraron fulguraciones clase C como se aprecia en la gráfica.

<https://www.swpc.noaa.gov/products/goes-x-ray-flux>

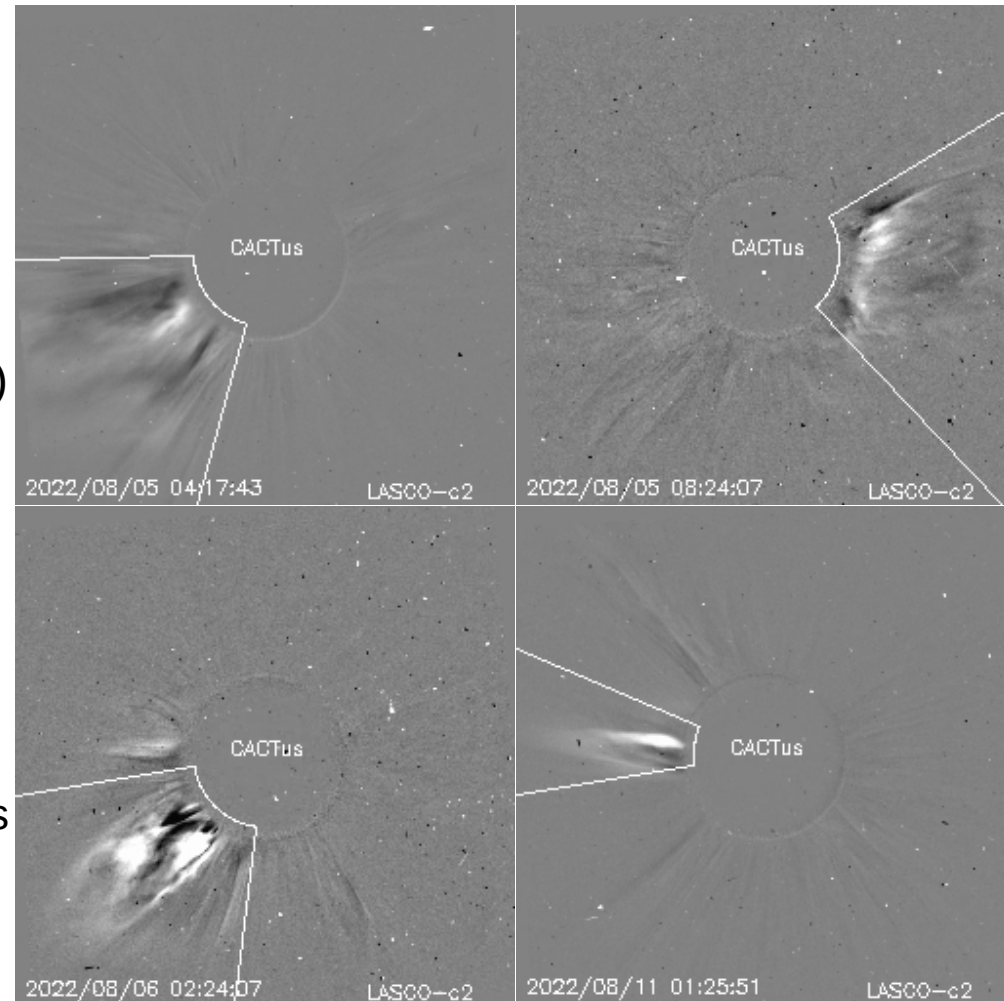
Actividad solar: Eyecciones de Masa Coronal

Se registraron 24 EMCs.
0 tipo halo (ancho $> 90^\circ$).

Mediciones de salida de EMC de mayor
dimensión y velocidad de esta semana:

Fecha, tiempo inicial, velocidad promedio (km/s)

2022/08/05	01:25	325
2022/08/05	07:24	480
2022/08/06	01:36	781
2022/08/10	23:36	428



- Eyecciones observadas por SOHO/LASCO con cálculos
del sitio CACTUS.

Credito imagenes y valores estimados:
SOHO, the SOLAR & Heliospheric Observatory
<https://wwwbis.sidc.be/cactus/>

Medio interplanetario: El viento solar cercano a la Tierra

Modelo numérico WSA-ENLIL.

Al día de hoy 11 de agosto de 2022, el modelo pronostica el arribo de corrientes de viento solar lento con velocidades de aproximadamente 350 km/s. Además, no pronostica el arribo de ninguna EMC para los próximos días, hasta el 16 de agosto.

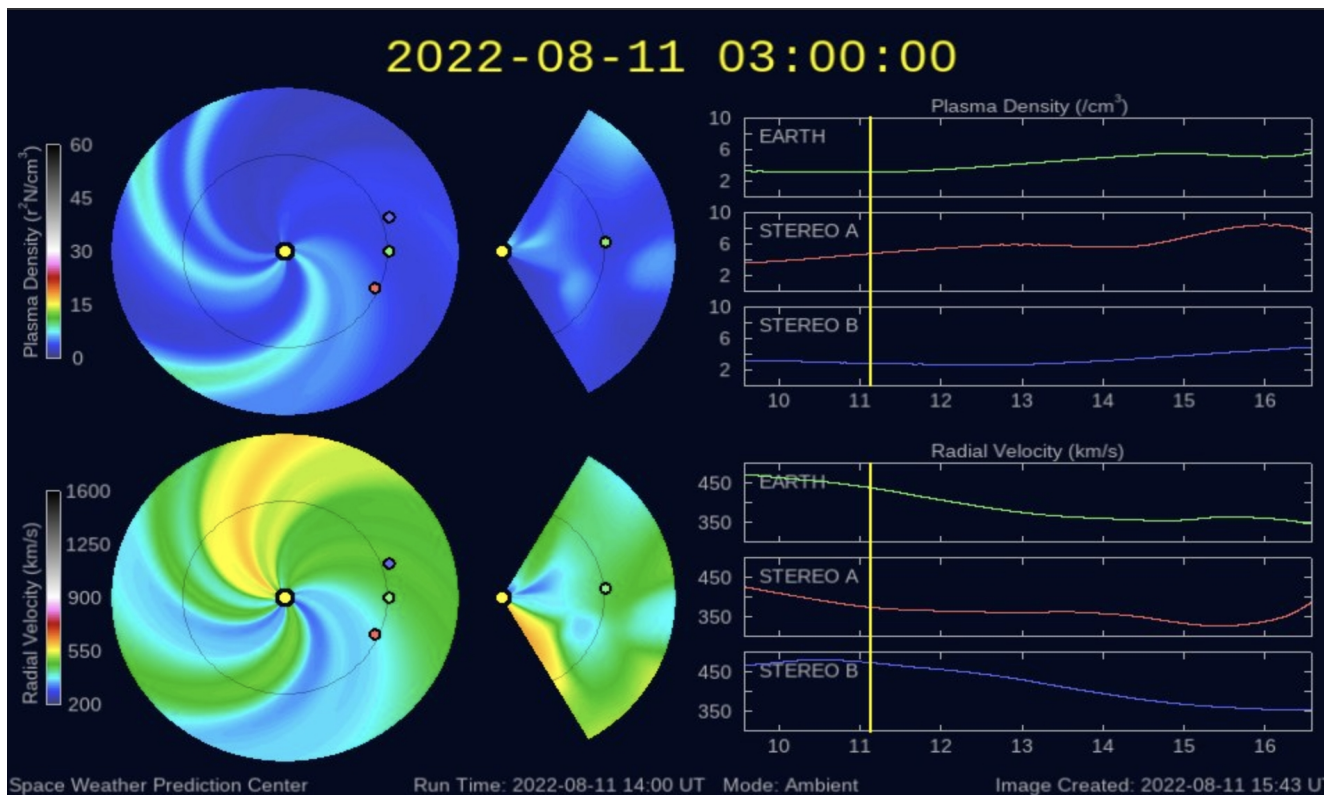


Imagen: <http://www.swpc.noaa.gov/products/wsa-enlil-solar-wind-prediction>

Medio interplanetario: Región de interacción de viento solar

Esta semana se registró una región de compresión (ver área sombreada en gris en imagen 2). El origen del viento solar rápido es un hoyo coronal localizado en latitudes bajas (ver CH en imagen 1). Dicha región de compresión generó actividad geomagnética: $K_p=6$ y $Dst=-52$ nT.

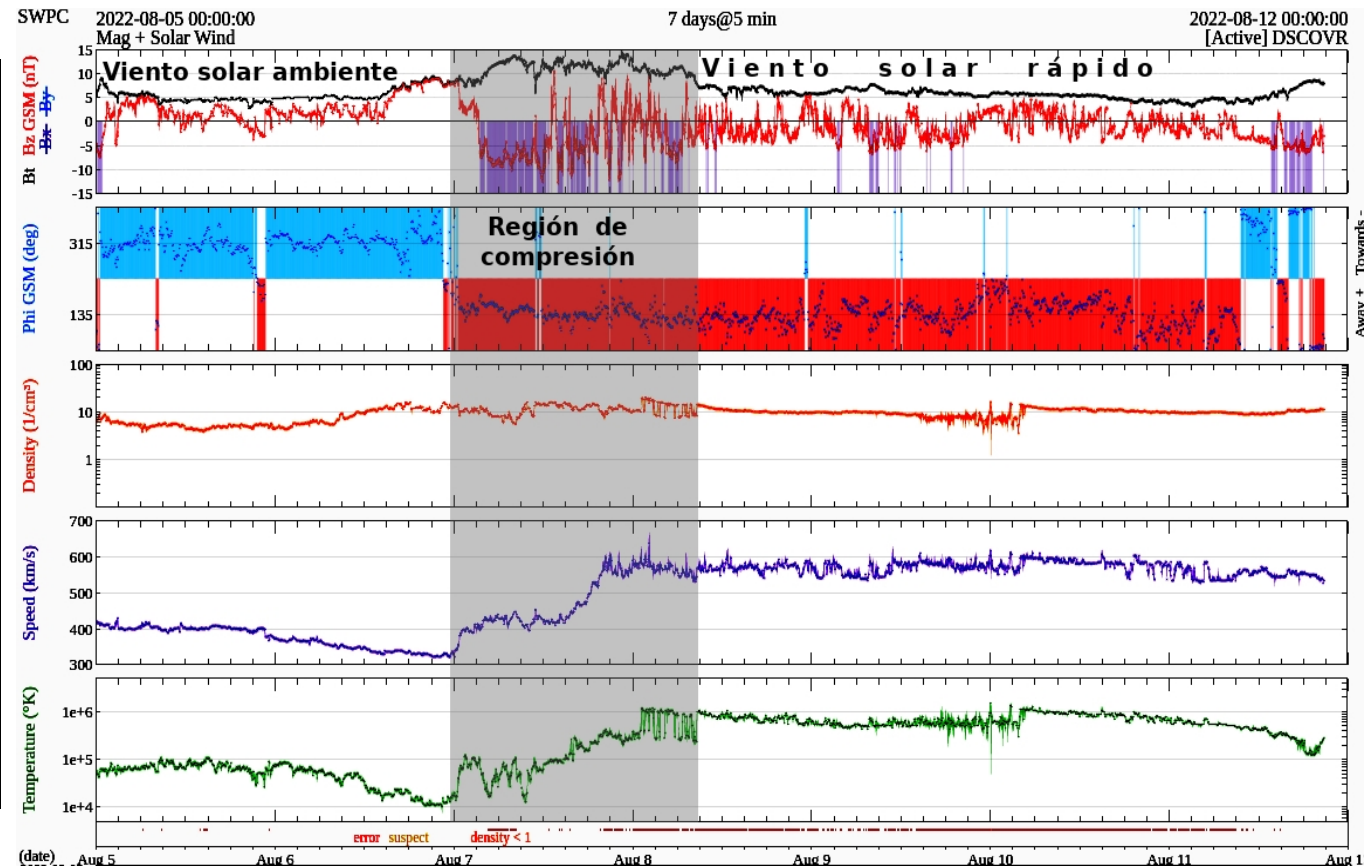
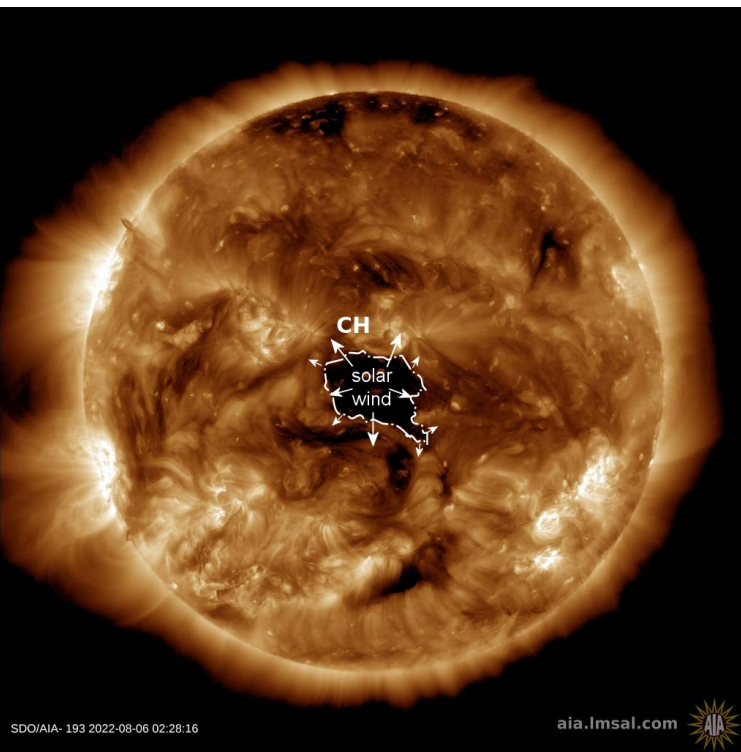


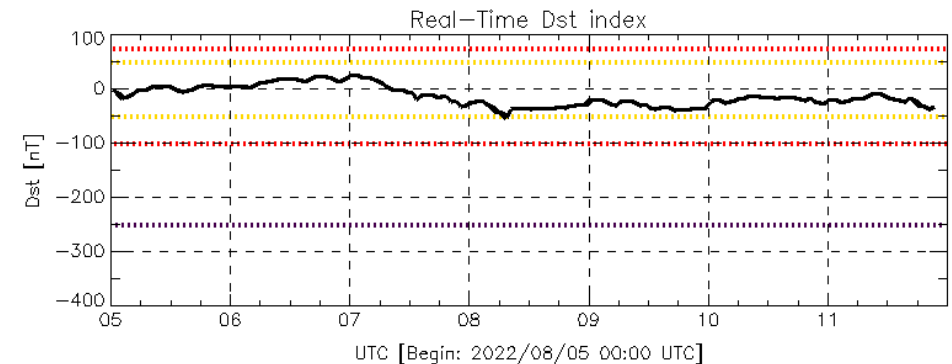
Imagen 1: <https://sdo.gsfc.nasa.gov/>

Imagen 2: <http://www.swpc.noaa.gov/products/real-time-solar-wind>

Perturbaciones geomagnéticas: Índice Dst y ΔH

Se registró actividad geomagnética moderada en los índices Dst y DH entre el 7 y el 8 de agosto. La tormenta geomagnética fue provocada por una región de interacción en el viento solar con componente Bz sur intermitente que impactó el ambiente terrestre el 7 de agosto.

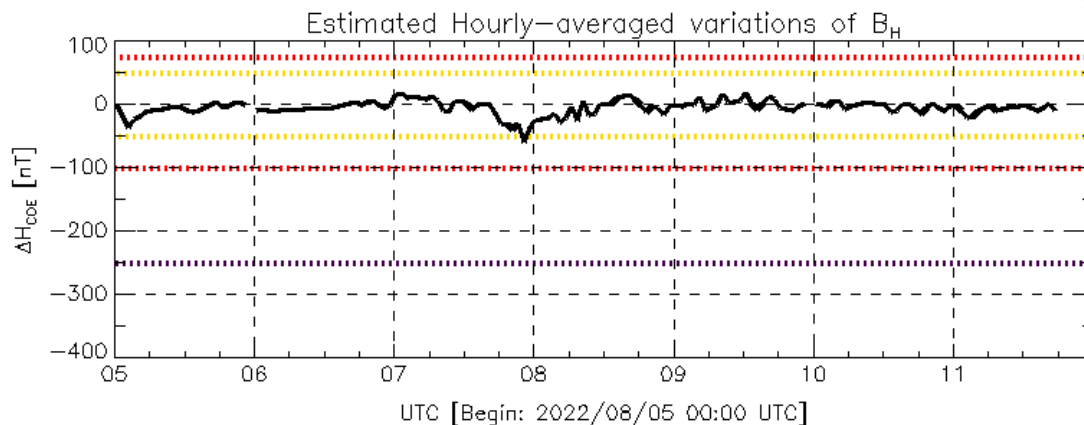
Datos: wdc.kugi.kyoto-u.ac.jp/dst_realtime/



Color Code: weak, moderate, intense, extreme, — data not available.

Dst: by World Data Center for Geomagnetism, Kyoto
http://wdc.kugi.kyoto-u.ac.jp/dst_realtime/

Updated: 2022/08/11-21:59 UTC



Color Code: weak, moderate, intense, extreme, — data not available.

COE: Coeneo Geomagnetic Station (LAT 19.81, LON -101.69)
LANC/SCIESMEX - Morelia, Mich., MX

Updated: 2022/08/11-18:49 UTC

Los índices Dst y ΔH miden las variaciones temporales de la componente horizontal del campo geomagnético, el primero a escala planetaria y el segundo para México.

Estas variaciones, en general, se deben al ingreso de partículas cargadas, provenientes del espacio exterior, al ambiente espacial terrestre.

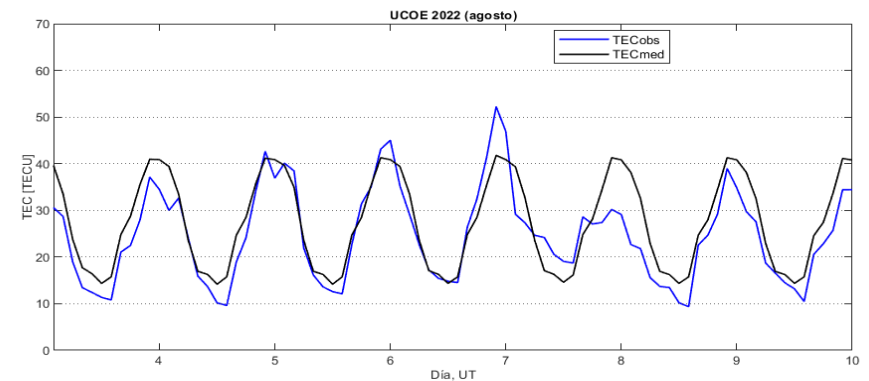
Ionósfera sobre México: TEC en el centro del país

El contenido total de electrones (TEC) es un parámetro que sirve para caracterizar el estado de la ionosfera de la Tierra.

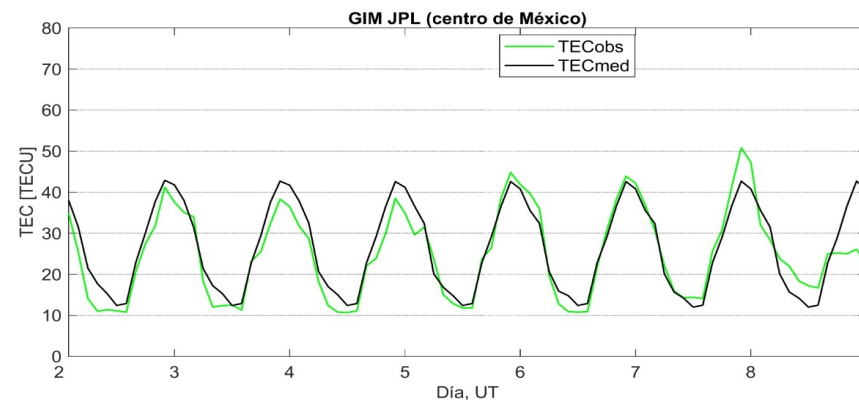
Series temporales de los valores de TEC (TECobs) con referencia a su valor mediano (TECmed) obtenidas de:

(1) Estación local UCOE (TLALOCNet, UNAVCO) ubicada en las instalaciones del MEXART

El cálculo se realiza en base del software "TayAbsTEC" del Instituto de Física Solar-Terrestre, SB RAS. Referencia: Yasyukevich et al., 2015, doi: 10.1134/S001679321506016X.



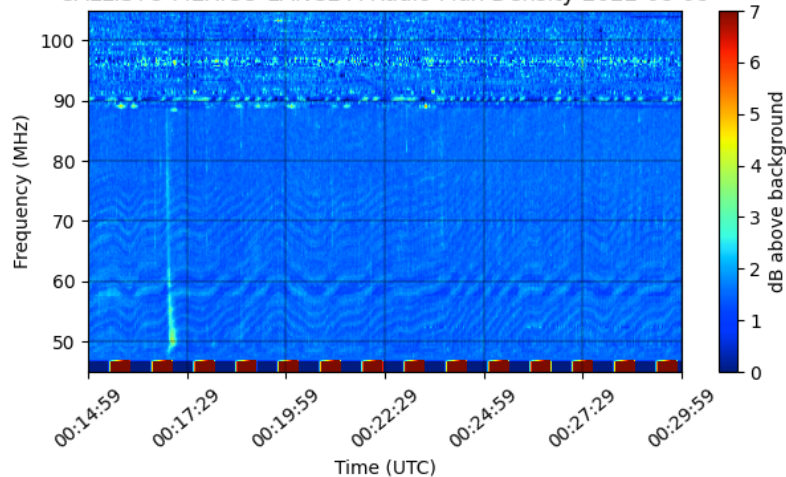
(2) Mapas ionosféricos globales (GIM JPL)



Se observó perturbación ionosférica ligera durante el 7-8 de agosto.

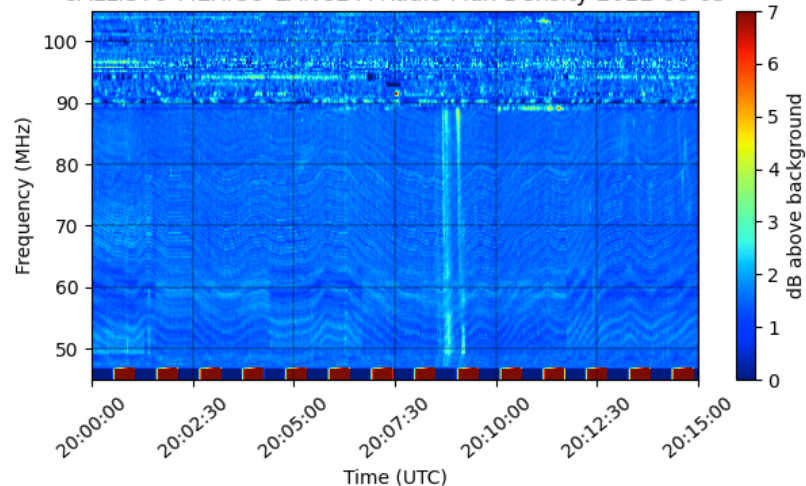
Estallidos de radio solares: Observaciones de la Red Callisto

CALLISTO MEXICO-LANCE-A Radio Flux Density 2022-08-08

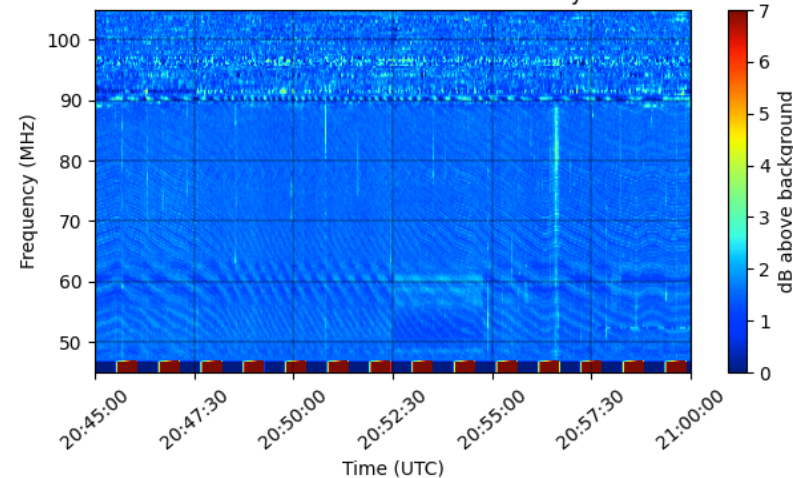


En esta semana la Red Callisto detectó 11 estallidos de radio Tipo III, y 2 Tipo IV. Los estallidos Tipo III se observaron del 4 al 8 de agosto entre las 16:00 y las 22:00 TU (10:00 a 16:00 tiempo local). Los estallidos Tipo IV se observaron el 7 y 8 de agosto a las 19:00 y 21:30 TU (13:00 y 15:30 tiempo local).

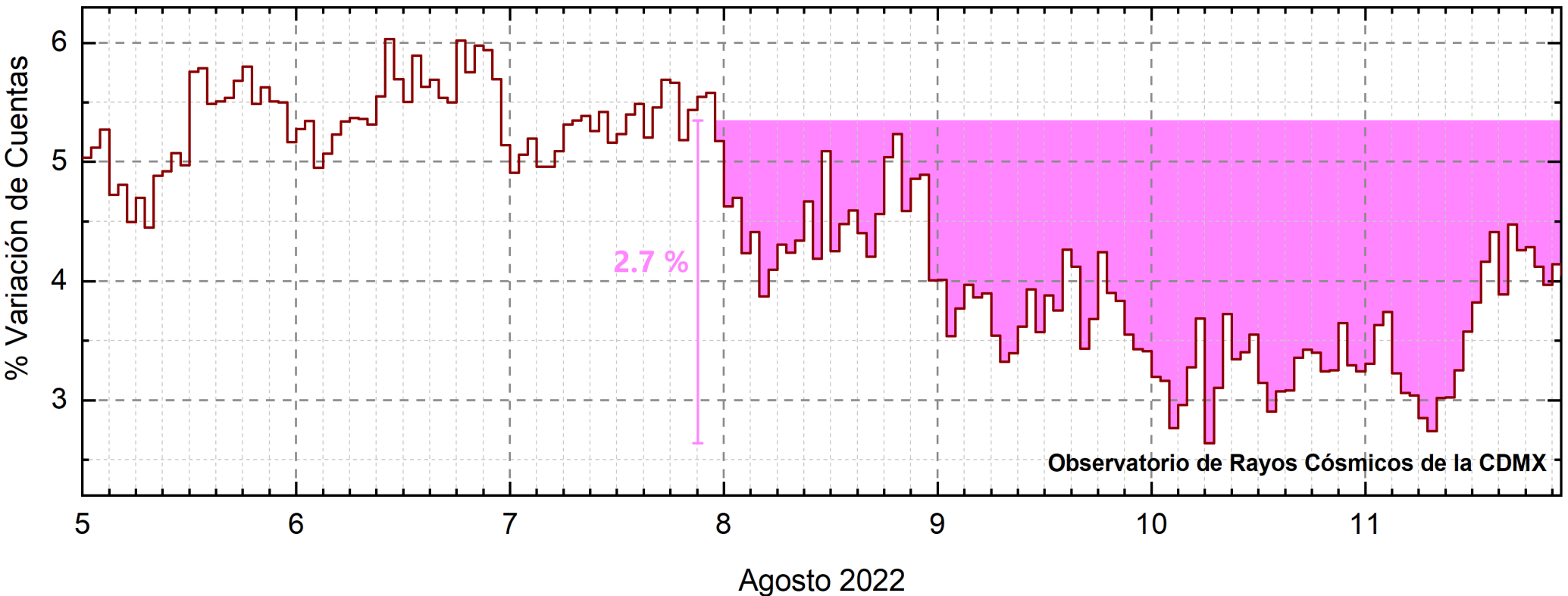
CALLISTO MEXICO-LANCE-A Radio Flux Density 2022-08-05



CALLISTO MEXICO-LANCE-A Radio Flux Density 2022-08-05



Rayos Cósmicos:



<http://www.cosmicrays.unam.mx/>

Datos registrados por el Observatorio de Rayos Cósmicos de la Ciudad de México. Del 5 al 11 de agosto se registró un “decrecimiento Forbush” que comenzó el 7 a la 23 hrs TU. El área coloreada en rosa representa la afectación por la la región de interacción que afectó el ambiente terrestre.

La caída en el flujo de rayos cósmicos alcanzó el 2.7% y, hasta las 22 hrs TU del 11 de agosto, aún se detecta la fase de afectación en las cuentas detectadas y en proceso gradual de recuperación.

Rayos Cósmicos:

Un decrecimiento Forbush es una intensa caída en las cuentas de rayos cósmicos galácticos registrados por los observatorios en Tierra. Este fenómeno se produce porque los rayos cósmicos son desviados por las líneas de campo magnético asociadas a la tormenta solar.

Como los rayos cósmicos son, en su inmensa mayoría, partículas cargadas, siguen y giran alrededor de estas líneas de campo magnético en función a su energía y son desviados de su trayectoria original. De este modo, los menos energéticos no llegan a la Tierra, provocando una rápida caída en el flujo detectado por los observatorios y con una recuperación gradual en función a los parámetros físicos de la tormenta solar.



UNAM/LANCE/SCIEMEX

Dr. J. Américo González Esparza
Dr. Pedro Corona Romero
Dra. Maria Sergeeva
Dr. Julio C. Mejía Ambriz
Dr. Luis Xavier González Méndez
Dr. José Juan González Avilés
Ing. Ernesto Andrade Mascote
M.C. Pablo Villanueva Hernández
Ing. Adan Espinosa Jiménez
Ing. Juan Luis Godoy Hernández
Dr. Ernesto Aguilar-Rodríguez
Dra. Verónica Ontiveros
Dra. Tania Oyuki Chang Martínez
Dr. Víctor José Gatica Acevedo
M.C. Angela Melgarejo Morales
Isaac David Orrala Legorreta
Oscar Baltazar Godines Torres

UNAM ENES-Morelia

Dr. Mario Rodríguez Martínez
M.C. Raúl Gutiérrez Zalapa
Rafael Zavala Molina
Marco Medina del Angel

UNAM/PCT

M.C. Elsa Sánchez García
M.C. Carlos Arturo Pérez Alanís
Lic. C. Isaac Castellanos Velasco

UANL/LANCE

Dr. Eduardo Pérez Tijerina
Dr. Enrique Pérez León
Dr. Carlos de Meneses Junior
Dra. Esmeralda Romero Hernández

UNAM/IGF/RAYOS CÓSMICOS

Dr. José Francisco Valdés Galicia
Fis. Alejandro Hurtado Pizano
Ing. Octavio Musalem Clemente

SERVICIO MAGNÉTICO

M.C. Esteban Hernández Quintero
M.C. Gerardo Cifuentes Nava
Dra. Ana Caccavari Garza

CPCET/SAET-IPN

Ing. Julio César Villagrán Orihuela
Miguel Daniel González Arias
Carlos Escamilla León
Jessica Juárez Velarde
Pablo Romero Minchaca
Eric Bañuelos Gordillo
Alfonso Iván Verduzco Torres
Alain Mirón Velázquez
Christian Armando Ayala López
Katia Lisset Ibarra Sánchez
Angel Alfonso Valdovinos Córdoba

Elaboración: Julio César Mejía Ambriz

Revisión: Ernesto Aguilar Rodríguez

Agradecimientos

El Laboratorio Nacional de Clima Espacial (LANCE) es parcialmente financiado por: el programa Cátedras CONACYT Proyecto 1045 y el Fondo Sectorial AEM-CONACYT proyecto 2014-01-247722. Agradecemos al proyecto Conacyt – Repositorio Institucional de Clima Espacial 268273. Agradecemos al proyecto AEM-2018-01-A3-S-63804 del Fondo Sectorial CONACYT-AEM. Agradecemos a todos los responsables y colaboradores de instrumentos del LANCE y a las redes de estaciones GPS del Servicio Sismológico Nacional y TlalocNET por facilitar sus datos. Agradecemos a Gerardo Cifuentes, Esteban Hernández y Ana Caccavari por los datos del Observatorio Magnético de Teoloyucan. De igual forma, agradecemos los servicios de IGS (International GNSS Service) por permitirnos usar los datos IONEX disponibles en: <https://cddis.nasa.gov/archive/gnss/products/ionex>. Los valores de TEC fueron obtenidos a partir de observaciones de las redes GPS del Servicio Sismológico Nacional (SSN), SSN-TLALOCNet y TLALOCNet del Servicio de Geodesia Satelital (SGS). Agradecemos al personal del SSN y del SGS por el mantenimiento de estaciones, la adquisición de datos y el soporte de IT de estas redes. Las operaciones de la red TLALOCNet y SSN-TLALOCNet GPS han sido apoyadas por The National Science Foundation bajo el proyecto EAR-1338091 a UNAVCO Inc., los proyectos CONACyT 253760 y 256012 y los proyectos UNAM-PAPIIT IN109315-3 y IN104818-3 de E. Cabral-Cano y el proyecto UNAM-PAPIIT IN111509 de R. Pérez. De igual forma, agradecemos a los proyectos de infraestructura del CONACyT: 253691 y del PAPIIT-DGAPA: IA107116 para el fortalecimiento de equipos como la estación fija de GPS, que forman parte del LACIGE-UNAM, de la ENES unidad Morelia a cargo de M. Rodríguez-Martínez, El cálculo de TEC se realiza: 1) utilizando el software US-TEC que es un producto de operación del Space Weather Prediction Center (SWPC), desarrollado a través de una colaboración entre National Geodetic Survey, National Oceanic and Atmospheric Administration (NOAA) y el Cooperative Institute for Research in Environmental Sciences of the University of Boulder, Colorado, 2) con base en el software TayAbsTEC del Instituto de Física Solar-Terrestre, sección Siberiana de la Academia de Ciencias Rusa. Parte del procesamiento de datos se lleva a cabo dentro del centro de Supercómputo de Clima Espacial (CESCOM) del LANCE. Así mismo agradecemos al Space Weather Forecasting Center for Astrophysics & Space Research de la University of California in San Diego y al Korean Space Weather Center por los datos de pronóstico para los modelos WSA-ENLIL y los mapas tomográficos por IPS. Agradecemos a la red e-callisto por los datos proporcionados de espectros electromagnéticos dinámicos de la red internacional de registro de eventos de radio solares.

Datos

Imágenes de coronógrafo, flujo de rayos X y modelo WSA-ENLIL:

<http://www.swpc.noaa.gov/products>

<http://iswa.ccmc.gsfc.nasa.gov/IswaSystemWebApp/>

Imágenes de coronógrafo:

<http://sohowww.nascom.nasa.gov/data/>

Imágenes del disco solar y de la fulguración:

<http://www.solarmonitor.org/>

Detección y caracterización de EMCs:

<http://www.sidc.oma.be/cactus/out/latestCMEs.html>

<http://spaceweather.gmu.edu/seeds/>

ISES:

<http://www.spaceweather.org/>

International Network of Solar Radio Spectrometers (e-callisto):

<http://www.e-callisto.org/>

German Research Center For Geosciences Potsdam:

<http://www.gfz-potsdam.de/en/sektion/erdmagnetfeld/daten-dienst/e/kp-index/>

Data Analysis Center for Geomagnetism and Space Magnetism, Kyoto University:

<http://wdc.kugi.kyoto-u.ac.jp/index.html>

UNAVCO:

<http://www.unavco.org>

SSN:

<http://www.sismologico.unam.mx/>

SOHO Spacecraft NASA:

<http://sohowww.nascom.nasa.gov/>

SDO Spacecraft NASA:

<http://sdo.gsfc.nasa.gov/>

Space Weather Prediction Center NOAA:

<http://www.swpc.noaa.gov>

GOES Spacecraft NOAA:

<http://www.ngdc.noaa.gov/stp/satellite/goes/index.html>

ACE Spacecraft NOAA

<http://www.srl.caltech.edu/ACE/ASC/index.html>